

СТУДЕНТ: Анненков Алексей Николаевич

Группа: 238

Дата загрузки работы: 12.01.2026

Подтверждаю, что данная работа является оригинальной, выполненной мною самостоятельно и в установленные сроки.

Код с реализацией экспериментов находится в репозитории

[https://github.com/alekseiannenkov/Fuzzy-logic.](https://github.com/alekseiannenkov/Fuzzy-logic)

Самостоятельная работа №2

Задание №1

Студентам НИУ ВШЭ в рамках выполнения домашней работы по дисциплине «*Интеллектуальный анализ данных*» было необходимо обучить свою нейросеть и сравнить её с baseline моделями. За час до дедлайна студенты осознали, что, увлёкшись выбиванием метрик на собственной модели (и получив на ней значение $Score = 0.93$), они совсем забыли обучить baseline сети и уже никак не успеют это сделать. Помогите студентам, используя модель нечёткого вывода Мамдани, оценить метрики baseline-моделей и на основе этого сделать существенные выводы о применимости своей модели. Для этого рассмотрите систему с тремя входами и общим числом правил ≥ 9 .

Решение

Выходом модели будет служить метрика Score (коэффициент качества модели). Формализуем её термы при помощи нечётких интервалов:

Score:

- Low(0, 0, 50, 60);
- Medium(50, 60, 70, 80);
- High(70, 80, 90, 100);
- Excellent(80, 90, 100, 100).

Рассмотрим следующие факторы, влияющие на метрику (входные переменные):

1. **DS (Dataset Size):**

- Small ($10^3, 10^3, 10^5, 10^6$);
- Medium ($10^4, 10^5, 10^6, 10^7$);
- Big ($10^6, 10^7, 10^8, 10^8$).

2. **№L (Number of Fully Connected Layers):**

- Few (0, 0, 1, 2);
- Medium (1, 2, 3, 4);
- A lot (2, 4, 5, 5).

3. **№P (Number of Parameters):**

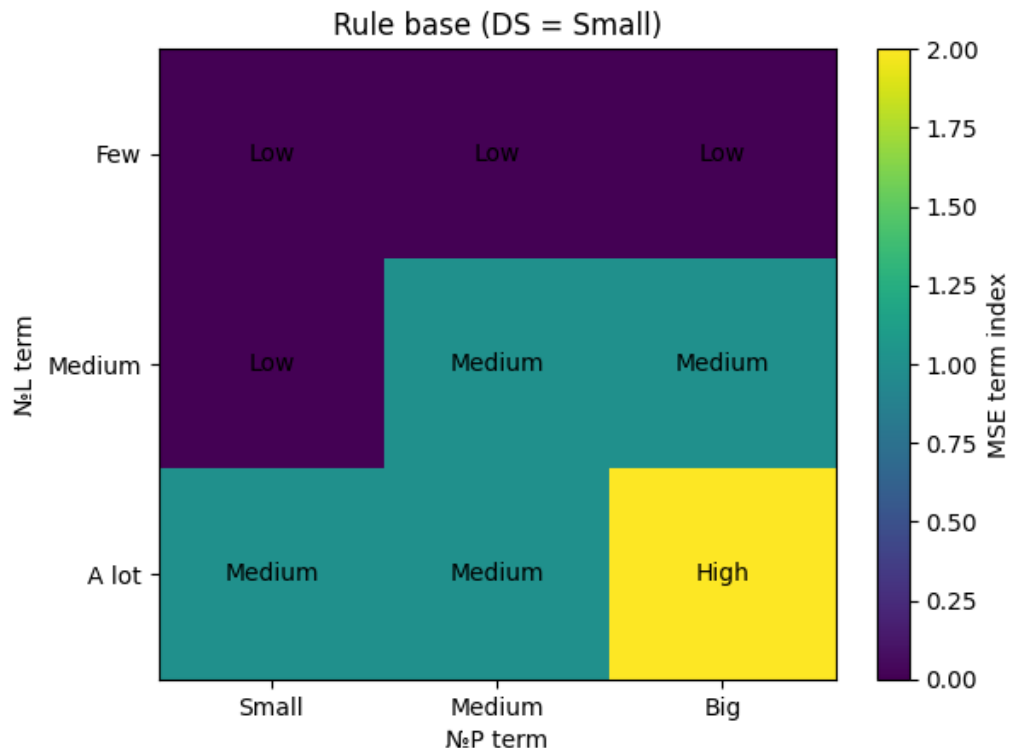
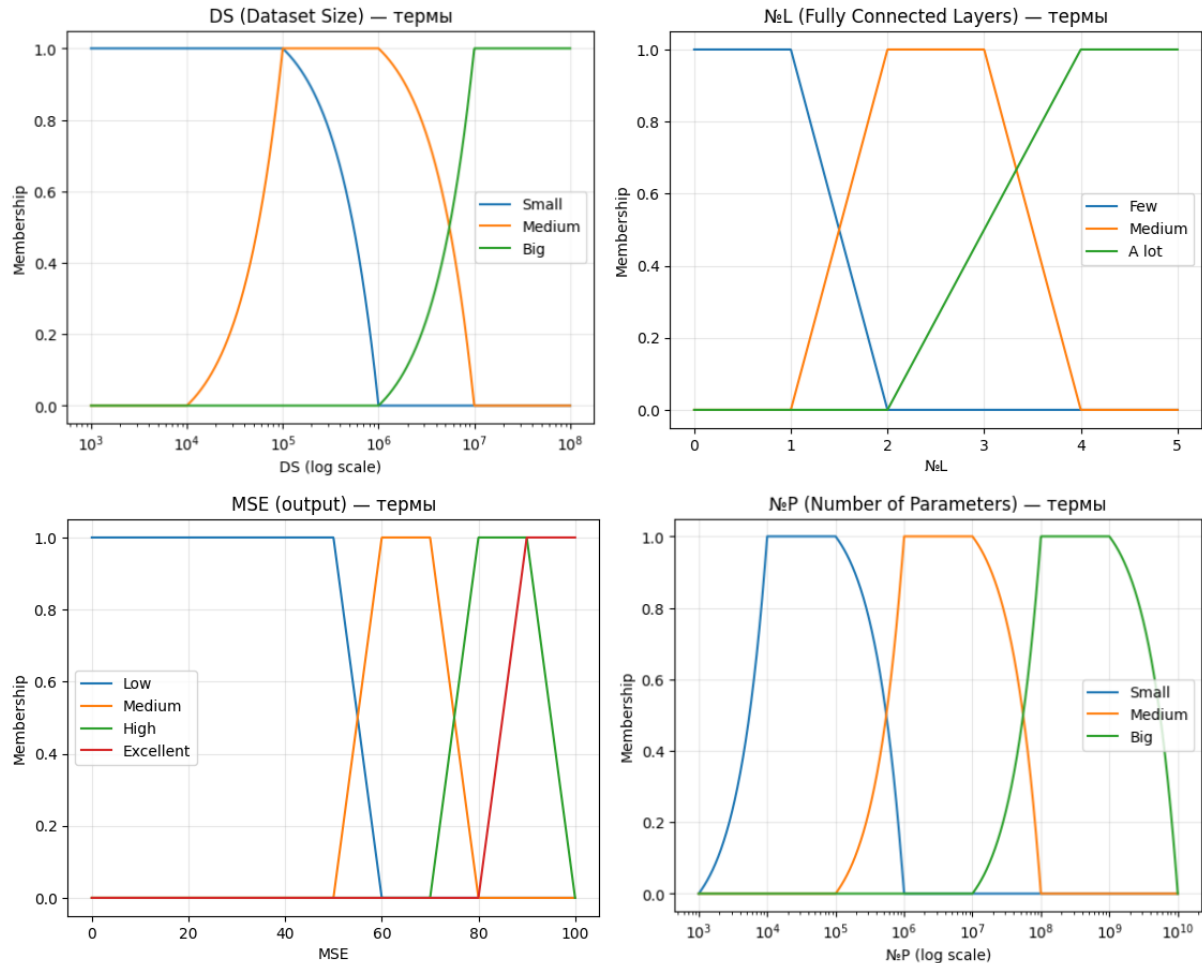
- Small ($10^3, 10^4, 10^5, 10^6$);
- Medium ($10^5, 10^6, 10^7, 10^8$);
- Big ($10^7, 10^8, 10^9, 10^{10}$).

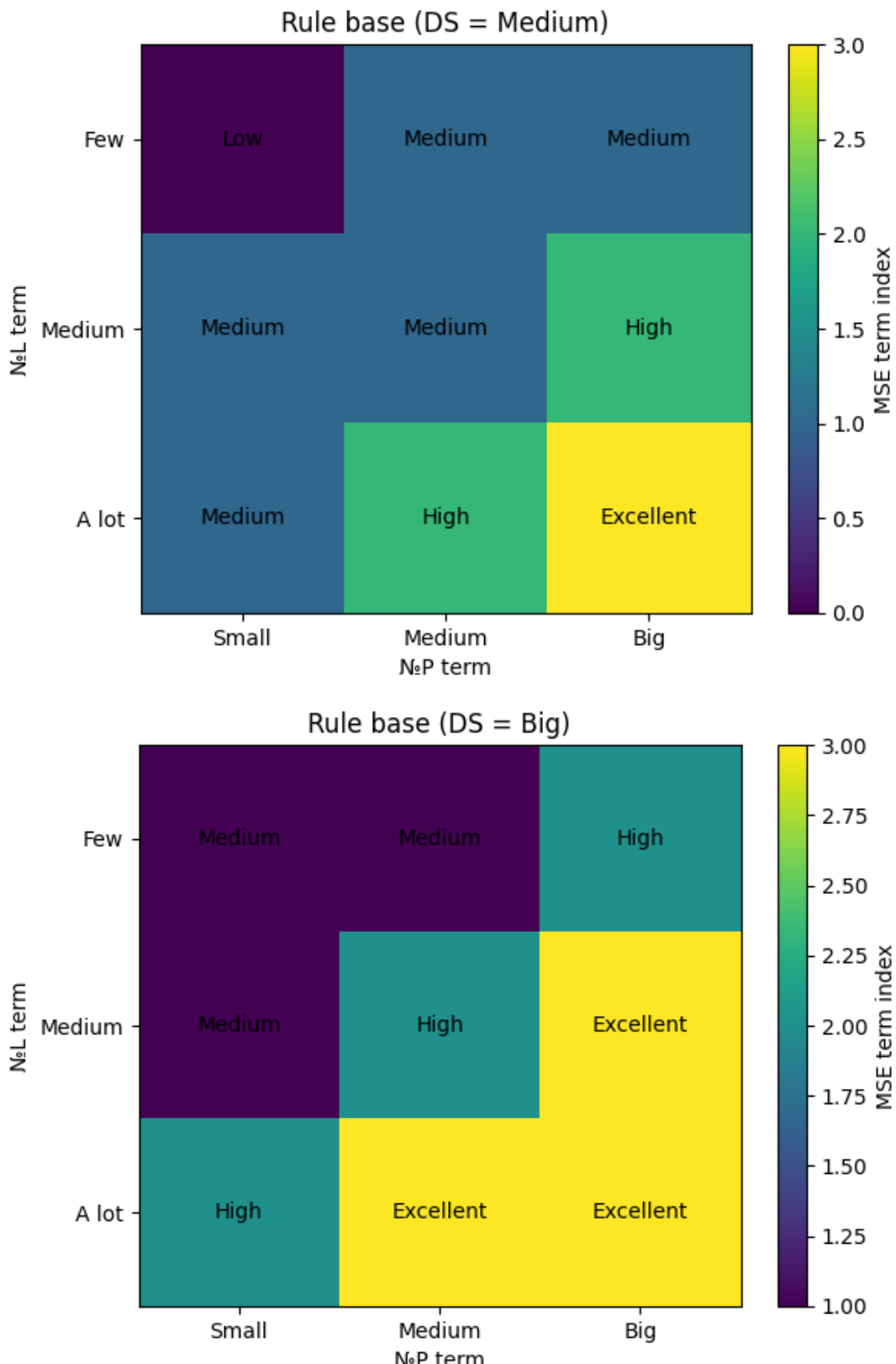
Ниже — таблица с правилами Мамдани:

IF DS is _ AND №L is _ AND №P is _ THEN Score is _.

DS	№L	№P	Score (output term)
Small	Few	Small	Low
Small	Few	Medium	Low
Small	Few	Big	Low
Small	Medium	Small	Low
Small	Medium	Medium	Medium
Small	Medium	Big	Medium
Small	A lot	Small	Medium
Small	A lot	Medium	Medium
Small	A lot	Big	High
Medium	Few	Small	Low
Medium	Few	Medium	Medium
Medium	Few	Big	Medium
Medium	Medium	Small	Medium
Medium	Medium	Medium	Medium
Medium	Medium	Big	High
Medium	A lot	Small	Medium
Medium	A lot	Medium	High
Medium	A lot	Big	Excellent
Big	Few	Small	Medium
Big	Few	Medium	Medium
Big	Few	Big	High
Big	Medium	Small	Medium
Big	Medium	Medium	High
Big	Medium	Big	Excellent
Big	A lot	Small	High
Big	A lot	Medium	Excellent
Big	A lot	Big	Excellent

Визуализируем термы и тепловые карты для описанных правил.





В качестве baseline-решений рассмотрим следующие популярные архитектуры нейросетей, параметры которых укладываются в заранее заданные рамки по числу полносвязных слоёв и общему количеству параметров:

1. **LeNet-5** — компактная сверточная сеть с тремя полносвязными слоями и приблизительно $6 \cdot 10^4$ параметрами;
2. **ResNet-18** — современная архитектура с остаточными связями, содержащая один полносвязный слой и около $1.17 \cdot 10^7$ параметров;
3. **AlexNet** — классическая сверточная сеть с тремя полносвязными слоями и примерно $6 \cdot 10^7$ параметрами;
4. **VGG-16** — глубокая сверточная архитектура с тремя полносвязными слоями и порядка $1.38 \cdot 10^8$ параметров.

Для каждой baseline-модели оценим значение метрики Score, используя модель нечёткого вывода Мамдани и аддитивную агрегацию Барта Коско.

Для этого выполним следующие шаги:

1. Рассмотрим несколько характерных размеров обучающего датасета:

$$DS \in \{10^4, 10^5, 5 \cdot 10^5, 10^6, 5 \cdot 10^6, 10^7, 5 \cdot 10^7\}.$$

Для каждого значения DS вычислим степени принадлежности соответствующим нечётким термам входной переменной *Dataset Size* и определим все выстреливающие правила Мамдани.

2. Для каждого выстреливающего правила вычислим степень выстреливания (firing degree). В соответствии с аддитивной агрегацией Барта Коско степень выстреливания правила при входе $x = (DS = x_1, L = x_2, P = x_3)$ определяется как

$$w = \min(\mu_{DS}(x_1), \mu_L(x_2), \mu_P(x_3)),$$

где μ_{DS} , μ_L и μ_P — функции принадлежности соответствующих нечётких термов.

3. Для каждого выстреливающего правила масштабируем соответствующий терм выходной переменной Score, умножая его функцию принадлежности на вычисленный вес w . Далее агрегируем полученные фигуры, беря максимум значений функций принадлежности в каждой точке выходного универсума.
4. Получив итоговую агрегированную нечёткую фигуру для выходной переменной Score, выполняем дефазификацию методом центра тяжести и тем самым получаем численную оценку Score для фиксированного размера датасета.

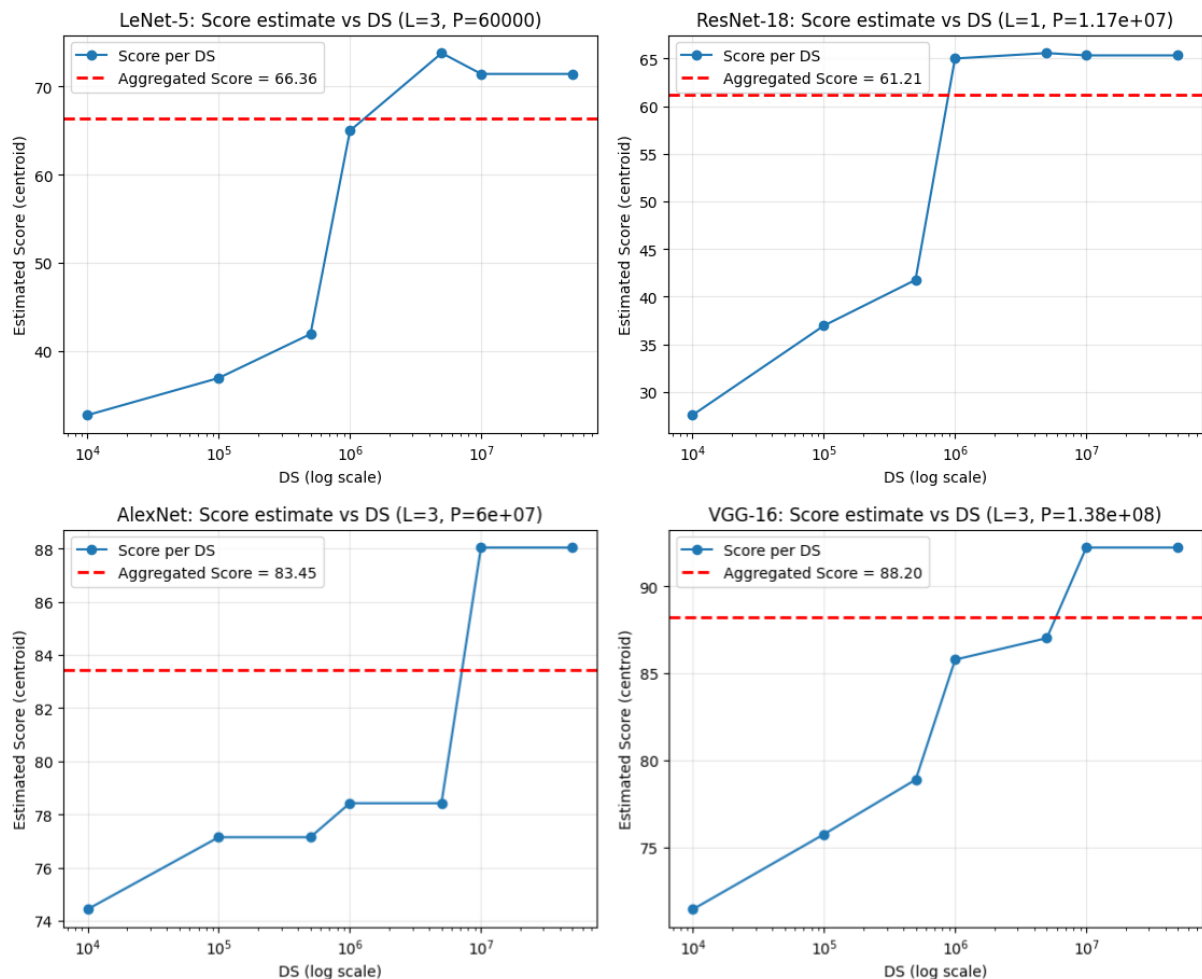
5. Поскольку для каждого значения DS получается собственная оценка Score, агрегируем их в одну финальную оценку качества baseline-модели. Для этого используется взвешенная сумма:

$$\text{Score}_{\text{final}} = \sum_i \alpha_i \cdot \text{Score}(DS_i),$$

где коэффициенты α_i заданы следующим образом:

$$\begin{aligned} DS = 10^4 &\rightarrow \alpha = 0.025, \\ DS = 10^5 &\rightarrow \alpha = 0.05, \\ DS = 5 \cdot 10^5 &\rightarrow \alpha = 0.075, \\ DS = 10^6 &\rightarrow \alpha = 0.1, \\ DS = 5 \cdot 10^6 &\rightarrow \alpha = 0.2, \\ DS = 10^7 &\rightarrow \alpha = 0.25, \\ DS = 5 \cdot 10^7 &\rightarrow \alpha = 0.3. \end{aligned}$$

В ходе проведения эксперимента были получены следующие результаты:



Выпишем полученные оценки и собственный результат студентов

1. **LeNet-5**: агрегированная оценка $\text{Score}_{\text{final}} \approx 66.36$.
2. **ResNet-18**: агрегированная оценка $\text{Score}_{\text{final}} \approx 61.21$.
3. **AlexNet**: агрегированная оценка $\text{Score}_{\text{final}} \approx 83.45$.
4. **VGG-16**: агрегированная оценка $\text{Score}_{\text{final}} \approx 88.20$.
5. **Свёрточная сеть студентов**: точное значение $\text{Score} = 0.93$.

С учётом того, что приведённые значения являются лишь оценками, студенты могут написать в своей домашней работе следующий вывод: «Из-за особенностей архитектуры и размеров датасетов две baseline модели (**LeNet-5** и **ResNet-18**) показали существенно худший результат, чем две оставшиеся (**AlexNet** и **VGG-16**) – $\text{Score} \approx 65$ против ≈ 85 соответственно. Полученное качество нашей модели – 0.93, что позволяет считать её вполне применимой при условиях, схожих с условиями проведения домашнего задания.»

Задание №1, часть 2

Составив описанный выше отчёт, студентам казалось, что вывод является неполным с точки зрения оценки применимости модели. Перечитав собственные выкладки, они вспомнили, что не провели анализ длительности обучения моделей. Действительно, если модель обучается на несколько порядков дольше своих аналогов, может возникнуть вопрос о целесообразности её применимости в практических задачах. Со слов студентов, их модель обучалась 1 день (24 часа). Помогите студентам оценить время работы рассмотренных baseline моделей. В качестве инструмента используйте модель Сугено с двумя входами. В конце решения сделайте сравнительный анализ модели и её аналогов.

Решение

В качестве входных параметров модели рассмотрим использованное ранее число параметров, а также количество операций в секунду, которое способно выполнять используемое для проведения тензорных вычислений устройство.

1. **№P (Number of Parameters):**

- Small ($10^3, 10^4, 10^5, 10^6$);

- Medium ($10^5, 10^6, 10^7, 10^8$);
- Big ($10^7, 10^8, 10^9, 10^{10}$).

2. Perf (Performance – operations per second):

- Bad ($10^{10}, 10^{10}, 10^{12}, 10^{13}$) – CPU;
- Acceptable ($10^{11}, 10^{12}, 10^{13}, 10^{14}$) – GPU;
- Good ($10^{13}, 10^{14}, 10^{15}, 10^{15}$) – ASIC.

Далее, прикинув порядковый масштаб желаемых результатов, составим следующие правила Сугено (2-ого порядка):

$$d_u = \log_{10}(P) - u_0, \quad d_v = \log_{10}(\text{Perf}) - v_0$$

$$F = (1 + 0.45d_u - 0.55d_v + 0.08d_u^2 + 0.06d_v^2 - 0.04d_u d_v)$$

Rule	NºP term	Perf term	(u_0, v_0)	Sugeno consequent (2nd degree)
R_{11}	Small	Bad	(5.0, 12.0)	$T = 10800 \cdot F$
R_{12}	Small	Acceptable	(5.0, 13.5)	$T = 1800 \cdot F$
R_{13}	Small	Good	(5.0, 15.0)	$T = 300 \cdot F$
R_{21}	Medium	Bad	(7.0, 12.0)	$T = 172800 \cdot F$
R_{22}	Medium	Acceptable	(7.0, 13.5)	$T = 43200 \cdot F$
R_{23}	Medium	Good	(7.0, 15.0)	$T = 7200 \cdot F$
R_{31}	Big	Bad	(9.0, 12.0)	$T = 864000 \cdot F$
R_{32}	Big	Acceptable	(9.0, 13.5)	$T = 172800 \cdot F$
R_{33}	Big	Good	(9.0, 15.0)	$T = 36000 \cdot F$

На основе приведённых правил опишем процедуру оценки времени обучения:

1. Для фиксированной baseline-модели рассмотрим три характерных класса вычислительных устройств:

$$\text{Perf} \in \{\text{CPU (Bad)}, \text{GPU (Acceptable)}, \text{ASIC (Good)}\}.$$

Для каждого значения Perf вычислим степени принадлежности соответствующим нечётким термам входной переменной *Performance* и определим все выстреливающие правила Сугено.

2. Аналогично предыдущей задаче, для каждого выстреливающего правила вычислим степень выстреливания (firing degree):

$$w = \min(\mu_P(P), \mu_{\text{Perf}}(\text{Perf})),$$

где μ_P и μ_{Perf} — функции принадлежности соответствующих нечётких термов.

3. В отличие от модели Мамдани, в модели Сугено заключение каждого правила задаётся аналитически. В данной работе используются правила Сугено второго порядка (с использованием логарифмов для избежания больших значений, возникающих из-за порядков операций в секунду), в которых время обучения аппроксимируется квадратичным полиномом по входным переменным:

$$T_i(x) = f_i(P, \text{Perf}).$$

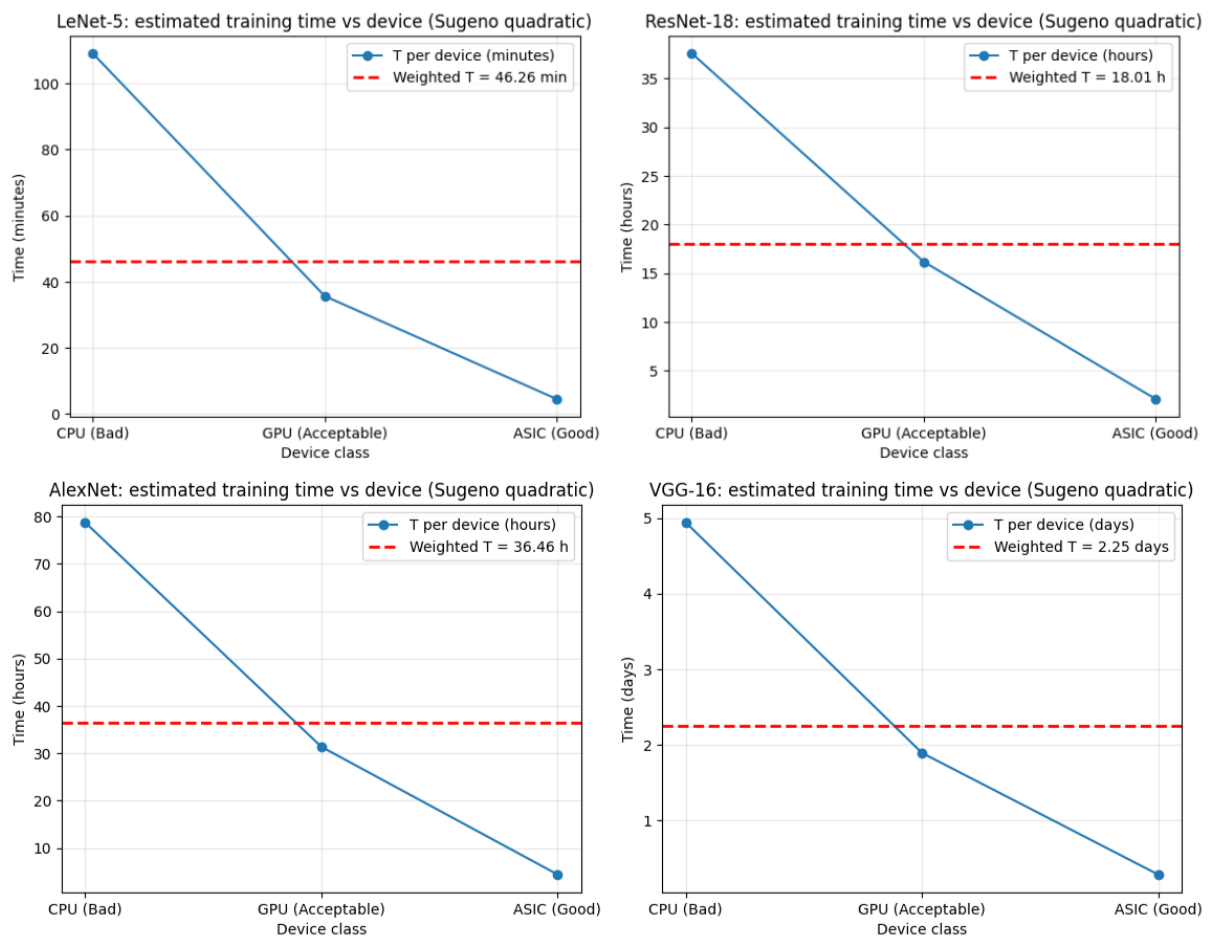
4. Для каждого выстреливающего правила вычислим значение заключения $T_i(x)$, после чего получим итоговую оценку времени обучения как взвешенное среднее:

$$T(P, \text{Perf}) = \frac{\sum_i w_i \cdot T_i(x)}{\sum_i w_i}.$$

5. Поскольку время обучения зависит от используемого вычислительного устройства, для получения финальной оценки применимости модели агрегируем результаты для различных классов устройств с помощью взвешенной суммы:

$$T_{\text{final}} = 0.25 \cdot T_{\text{CPU}} + 0.5 \cdot T_{\text{GPU}} + 0.25 \cdot T_{\text{ASIC}}.$$

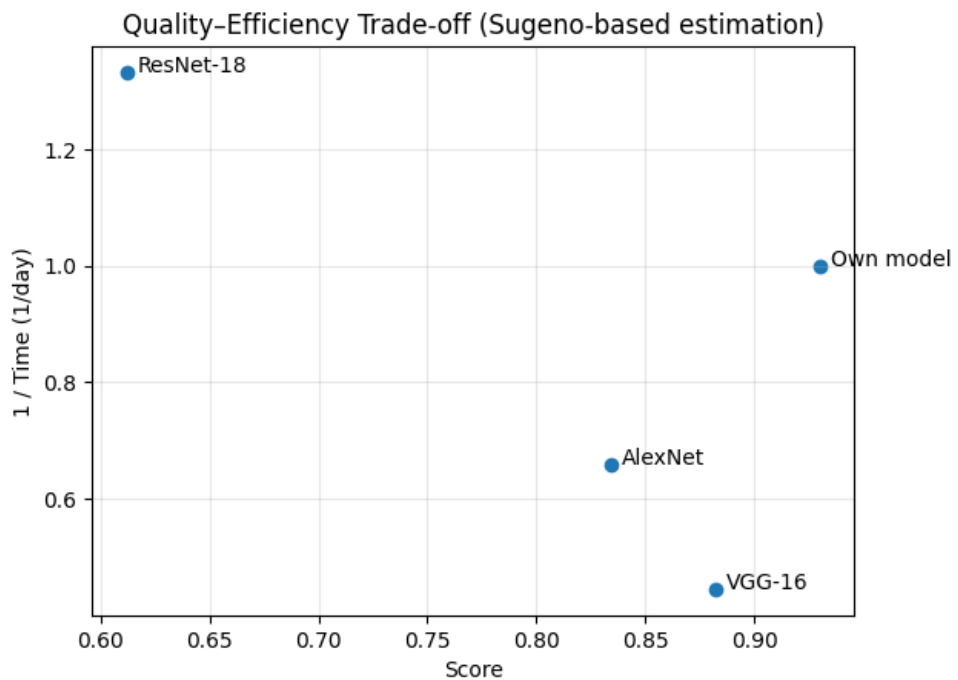
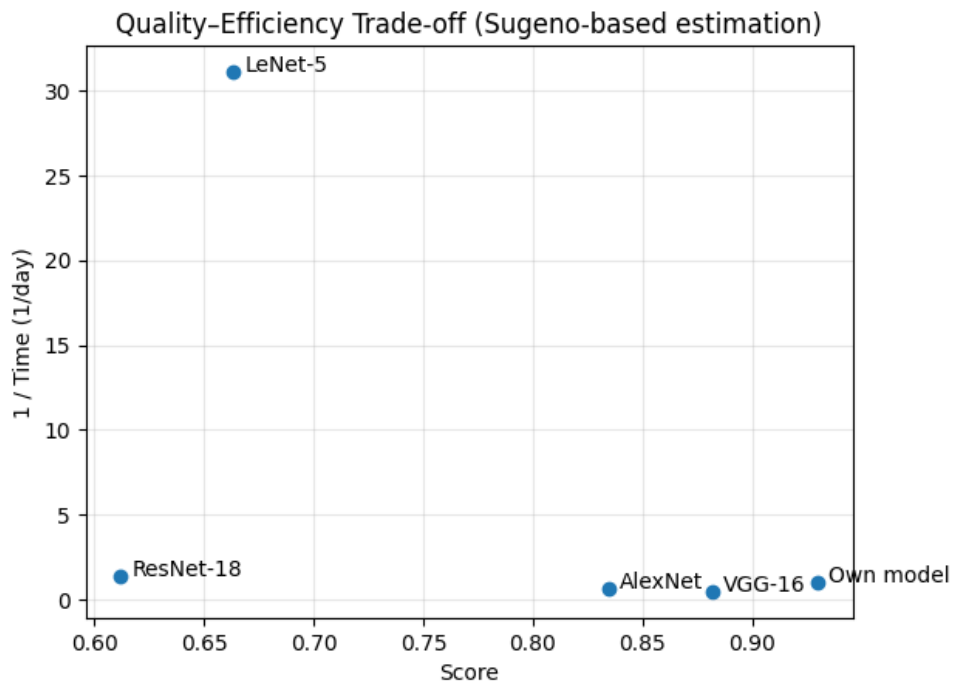
Ниже представлены полученные результаты.



Для наглядности выпишем полученные оценки.

1. **LeNet-5:** агрегированная оценка времени обучения $T_{\text{final}} \approx 46.26 \text{ min}$.
2. **ResNet-18:** агрегированная оценка времени обучения $T_{\text{final}} \approx 18.01 \text{ h}$.
3. **AlexNet:** агрегированная оценка времени обучения $T_{\text{final}} \approx 36.46 \text{ h}$.
4. **VGG-16:** агрегированная оценка времени обучения $T_{\text{final}} \approx 2.25 \text{ days}$.
5. **Свёрточная сеть студентов:** заданная оценка времени обучения $T = 1 \text{ day}$.

Изобразим графики, на котором сравним пары значений (Score, 1/Learning Time) для всех моделей – на одной графике сравним все модели, на втором уберём **LeNet-5** из-за относительного малого времени обучения для анализа остальных альтернатив.



Приведём возможное описание полного вывода для работы студентов:

На графиках выше приведены оценки качества моделей и времени обучения. Как видно, у **LeNet-5** и **ResNet-18** метрики около 0.65, что является небольшим результатом. Однако время обучения **LeNet-5** равно 46 минутам, что на порядок меньше, чем у альтернатив. Другие свёрточные сети – в частности, наша, **AlexNet** и **VGG-16** – показали схожие результаты как по метрике ($\approx 0.85–0.9$), так и по времени обучения (20-40 часов). Однако по обоим параметрам наша модель превзошла альтернативы из группы «высокой метрики».

С учётом вышесказанного, можно утверждать, что выбор модели должен быть основан в первую очередь на приоритетах пользователя. Если необходимо обучить модель быстро (в течение часа) – хорошо подойдёт **LeNet-5**; если же главным критерием является высокая метрика, то целесообразно использовать нашу модель – она не только имеет лучший среди альтернатив коэффициент качества, но и обучается в течение дня (что также лучше некоторых альтернатив).

Задание №2

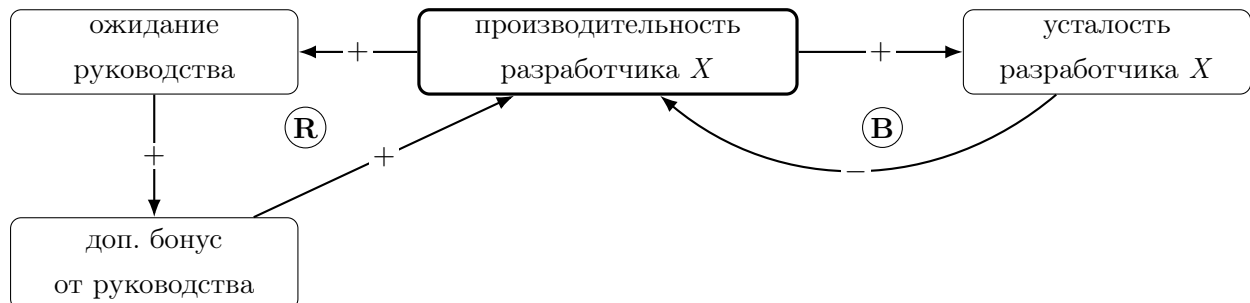
В течение 6 недель в компании наблюдается устойчивое снижение производительности разработчика X . Разработчик является ключевым звеном команды, на нём завязаны критически важные части проекта, поэтому любые отклонения в его работе существенно отражаются на общем прогрессе.

Ситуация усугубляется тем, что менее чем через месяц запланирована сдача проекта заказчику. В этих условиях становится особенно важно в кратчайшие сроки выявить причины снижения производительности и принять управленческие решения, направленные на её восстановление и стабилизацию.

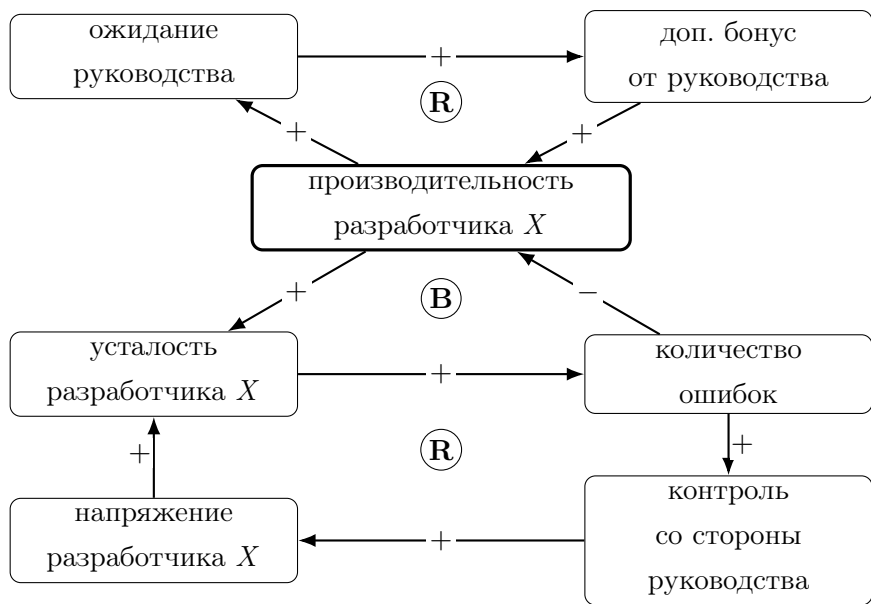
Что может быть предложено для преодоления этой ситуации? Рассмотреть Causal Loop Diagram с тремя циклами. Понять, какой цикл является доминирующим в момент рассмотрения ситуации. В качестве переменных взять интервальные нечёткие множества второго типа. Для всех переменных построить график Behaviour over time. Предложить альтернативы улучшающего вмешательства.

Решение

На семинаре была рассмотрена следующая диаграмма:



Было предложено дополнить диаграмму ещё некоторыми факторами. Ниже приведена обновлённая диаграмма.

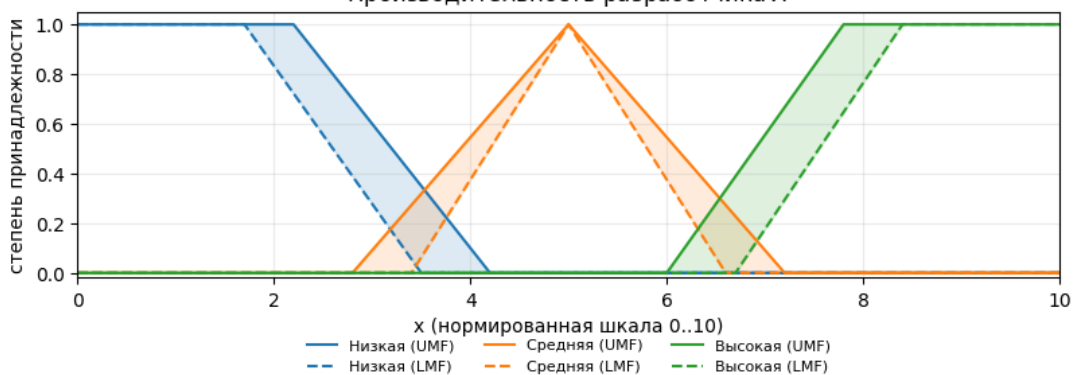


Проанализируем полученную диаграмму:

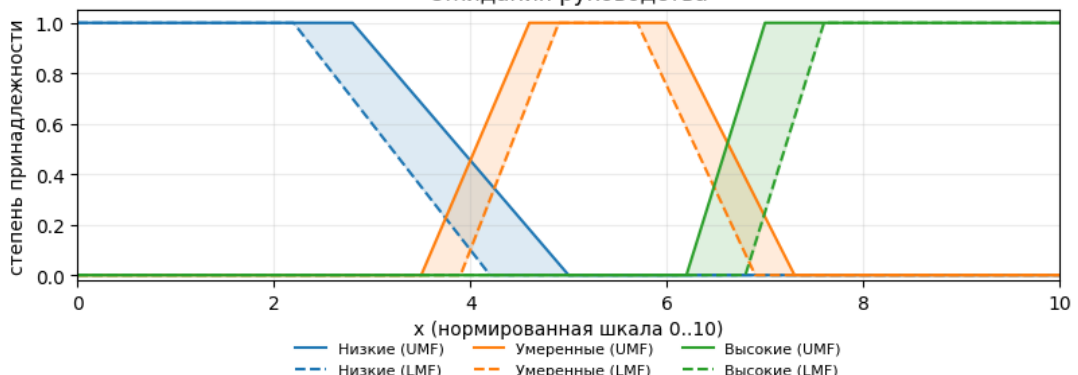
1. **Главная переменная.** Центральной переменной в рассматриваемой диаграмме является *производительность разработчика X*. Именно она отражает наблюдаемую проблему и выступает итоговым показателем, на который оказывают влияние все остальные факторы.
2. **Усиливающий R-цикл «ожидания–бонус–производительность».** В данном цикле рост производительности разработчика приводит к росту ожиданий со стороны руководства. Повышенные ожидания, в свою очередь, выражаются в дополнительном бонусе, который положительно влияет на мотивацию разработчика и способствует дальнейшему росту производительности. Этот цикл является усиливающим: при благоприятных условиях он поддерживает рост производительности.
3. **Балансирующий В-цикл «производительность–усталость–ошибки».** Увеличение производительности разработчика приводит к росту усталости. Повышенная усталость увеличивает количество ошибок, а рост числа ошибок негативно сказывается на производительности. Данный цикл является балансирующим и отражает естественные ограничения человека: при чрезмерной нагрузке система сама стремится снизить уровень производительности.
4. **Усиливающий R-цикл «выгорания».** В этом цикле усталость разработчика приводит к увеличению количества ошибок. Рост ошибок вызывает усиление контроля со стороны руководства. Повышенный контроль создаёт дополнительное напряжение для разработчика, что, в свою очередь, ещё больше увеличивает усталость. Таким образом формируется усиливающий цикл, который может приводить к состоянию выгорания и ускорять снижение производительности.
5. **Совместное влияние циклов.** При длительном снижении производительности (что соответствует рассматриваемой проблеме) доминирующим становится балансирующим цикл с R-подциклом выгорания, который усиливает негативные тенденции.

Для установления возможных зависимостей определим термы всех переменных и построим графики Behaviour over time.

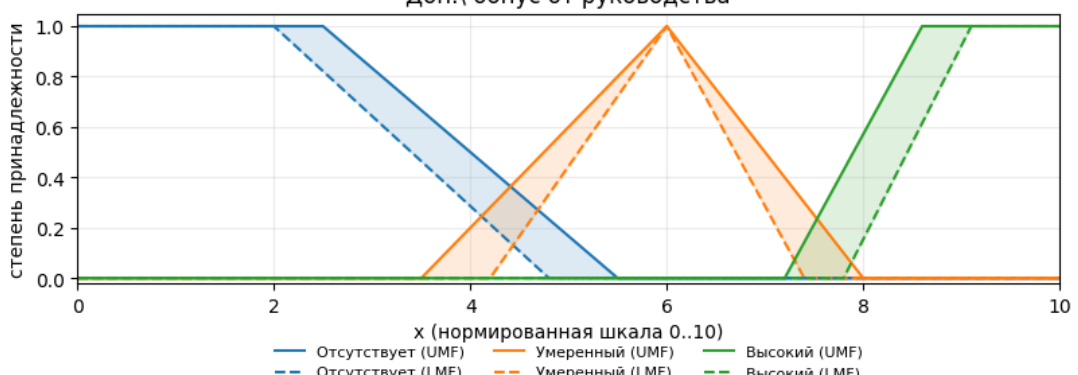
Производительность разработчика X



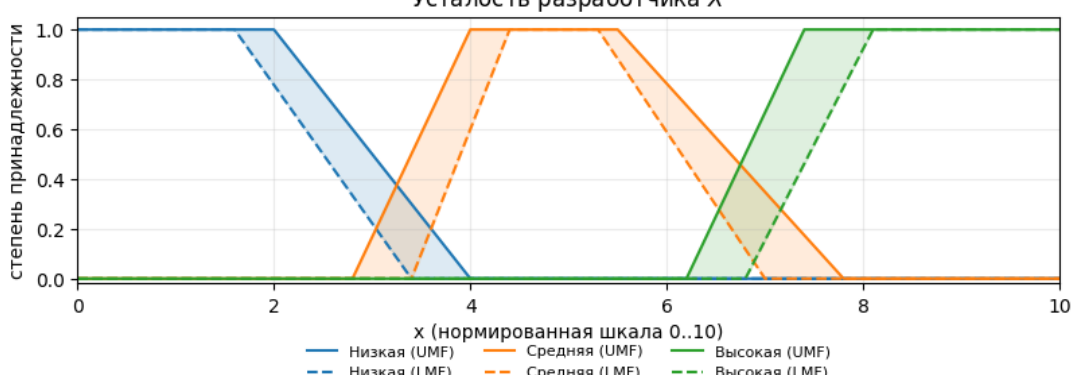
Ожидания руководства

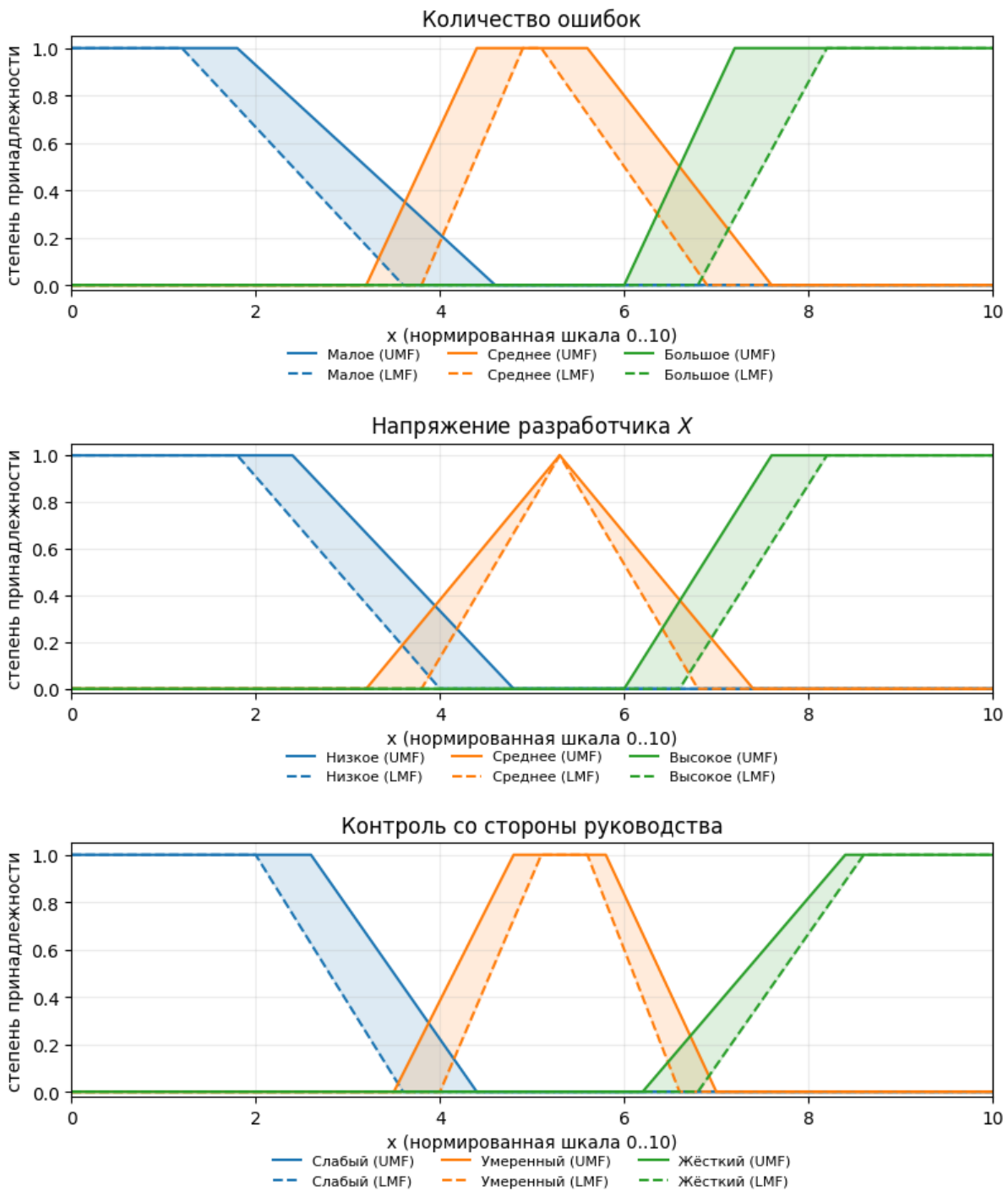


Доп.\ бонус от руководства



Усталость разработчика X





Для всех связей в диаграмме положим следующие задержки:

1. Цикл мотивации (R):

- $P \rightarrow E$ (производительность \rightarrow ожидания): задержка 1 неделя;
- $E \rightarrow B$ (ожидания \rightarrow доп. бонус): задержка 1 неделя;
- $B \rightarrow P$ (бонус \rightarrow производительность): задержка 2 недели.

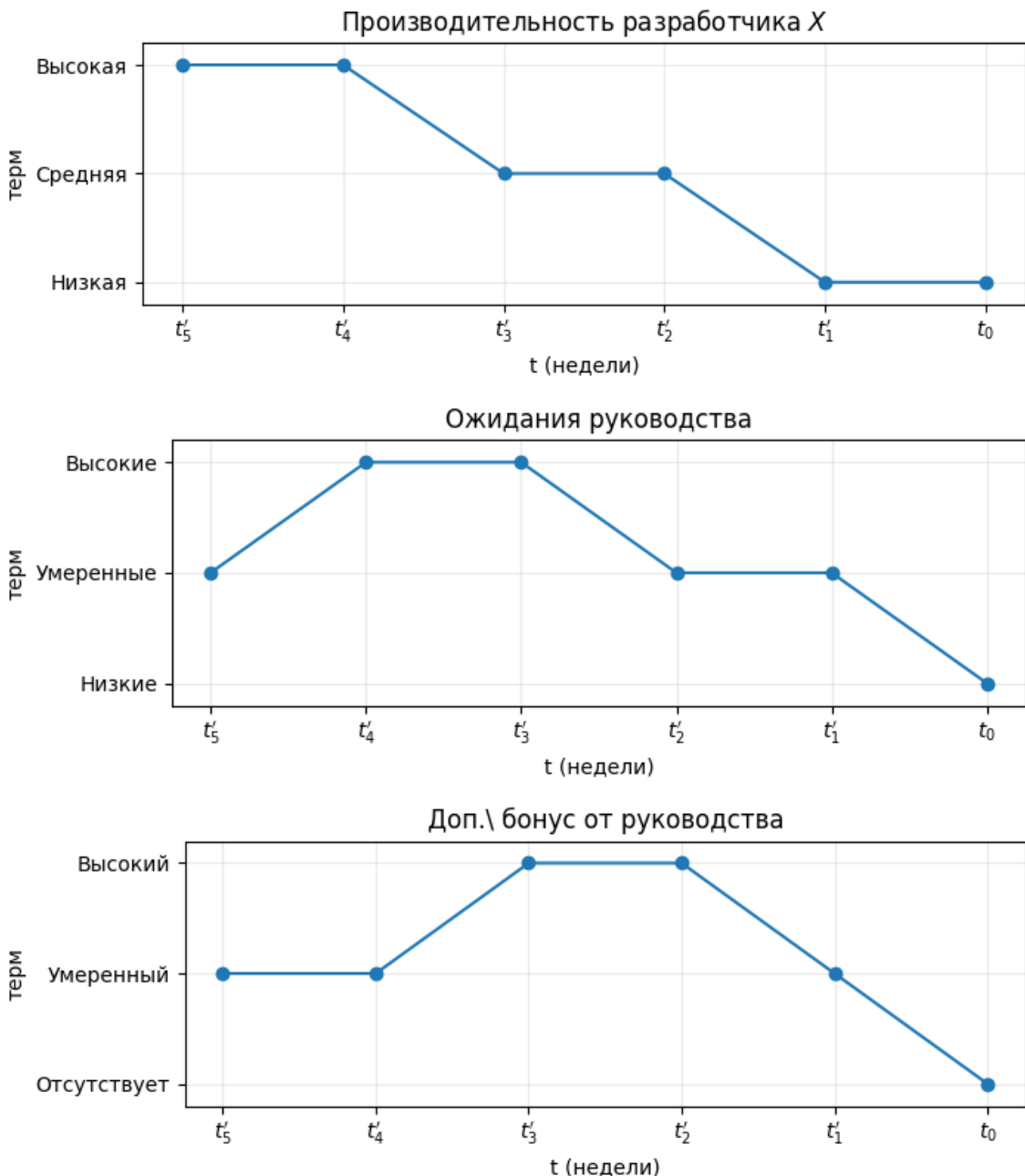
2. Цикл ограничений через ошибки (B):

- $P \rightarrow F$ (производительность → усталость): задержка 1 неделя;
- $F \rightarrow Err$ (усталость → ошибки): задержка 1 неделя;
- $Err \rightarrow P$ (ошибки → производительность): задержка 1 неделя.

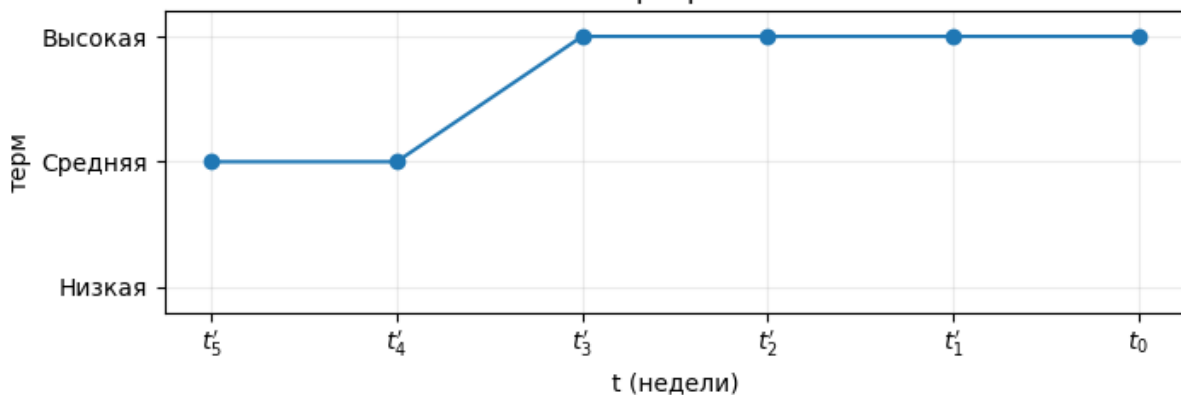
3. Цикл выгорания (R):

- $Err \rightarrow Ctrl$ (ошибки → контроль): задержка 1 неделя;
- $Ctrl \rightarrow Tens$ (контроль → напряжение): задержка 1 неделя;
- $Tens \rightarrow F$ (напряжение → усталость): задержка 1 неделя.

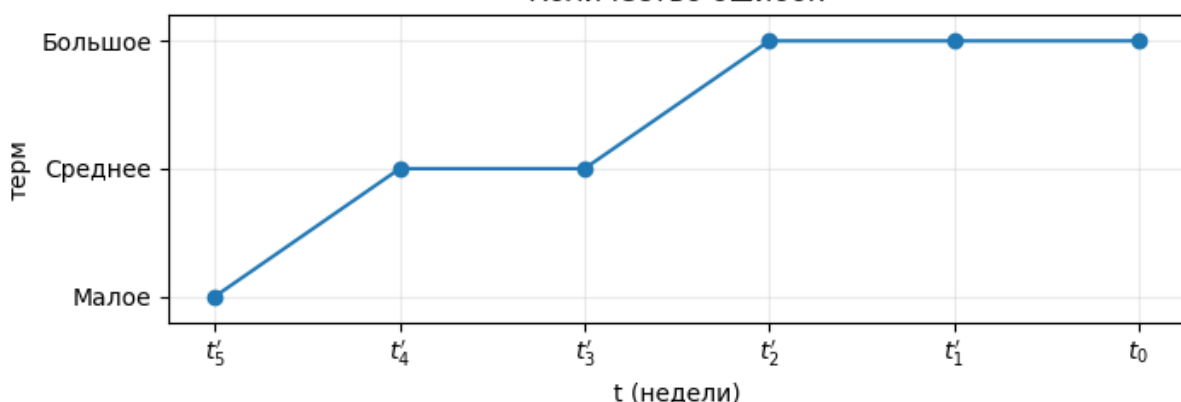
С учётом задержек построим оценочную динамику переменных в период последних 6 недель. Одно деление оси абсцисс соответствует одной неделе.



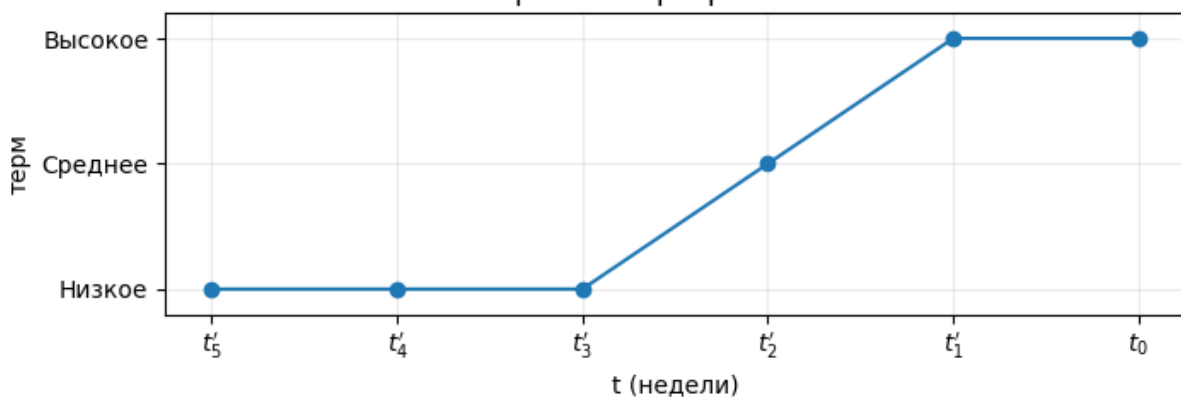
Усталость разработчика X



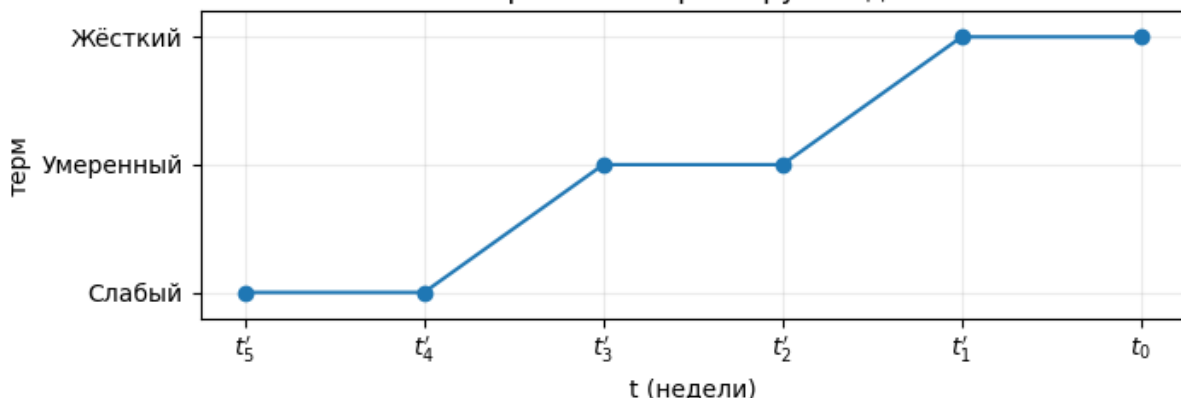
Количество ошибок



Напряжение разработчика X



Контроль со стороны руководства



Проанализируем сложившуюся ситуацию

1. **Возможные причины снижения производительности.** Наблюдаемое снижение производительности разработчика X может быть связано с совокупным действием нескольких факторов. Во-первых, длительное поддержание высокого темпа работы приводит к накоплению усталости, что негативно сказывается на концентрации и качестве выполняемых задач. Во-вторых, рост усталости сопровождается увеличением количества ошибок, требующих дополнительного времени на исправление. В-третьих, на фоне ошибок руководство может усиливать контроль, что повышает психологическое напряжение разработчика и способствует формированию состояния выгорания. В результате возникает замкнутый негативный контур, поддерживающий дальнейший спад производительности.
2. **Факторы, доступные для управленческого воздействия.** Рассматривая ситуацию со стороны руководства, можно выделить три фактора, на которые можно относительно быстро воздействовать с целью повышения производительности:
 - *Ожидания руководства* — объём задач, жёсткость сроков и требования к результатам, которые могут быть скорректированы без существенных организационных издержек;
 - *Контроль со стороны руководства* — частота проверок и формат взаимодействия с разработчиком;
 - *Дополнительный бонус* — материальные стимулы, используемые для поддержки мотивации.

С учётом того, что разработчик X является ключевым участником команды, а проект должен быть завершён в сжатые сроки, пассивное ожидание естественного восстановления производительности может ещё больше усугубить проблему. Требуется целенаправленное управленческое вмешательство, направленное на разрыв негативных усиливающих циклов и создание условий для стабилизации и последующего роста производительности. Для этого рассмотрим две альтернативы:

1. **Альтернатива А: снижение давления и усиление поддержки.** В рамках данной стратегии руководство целенаправленно снижает уровень ожиданий и ослабляет контроль за работой разработчика X . Параллельно вводится повышенный дополнительный бонус как сигнал поддержки и признания вклада разработчика. Снижение контроля приводит к уменьшению напряжения практически сразу, тогда как усталость и количество ошибок начинают снижаться с

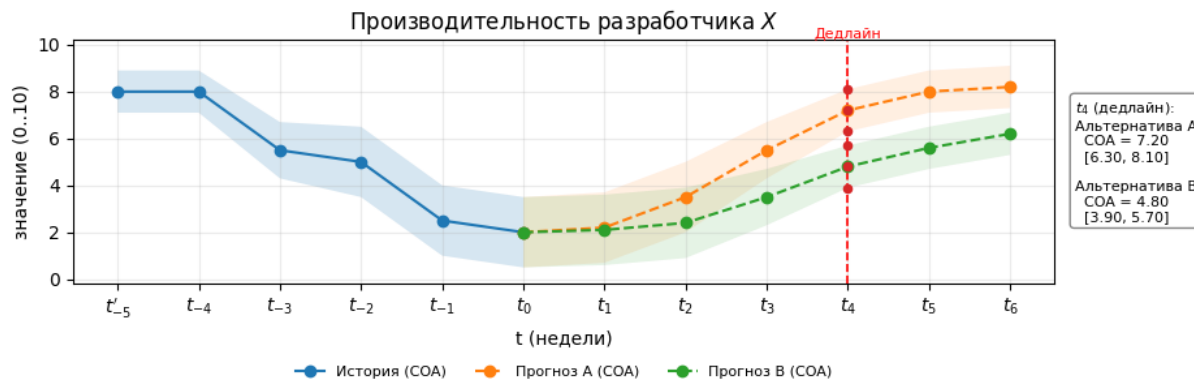
задержкой в одну–две недели. Эффект от бонуса проявляется не мгновенно, однако спустя несколько недель наблюдается рост производительности, который позволяет вывести проект на приемлемую траекторию выполнения.

2. Альтернатива В: мягкая стабилизация с сохранением управляемости.

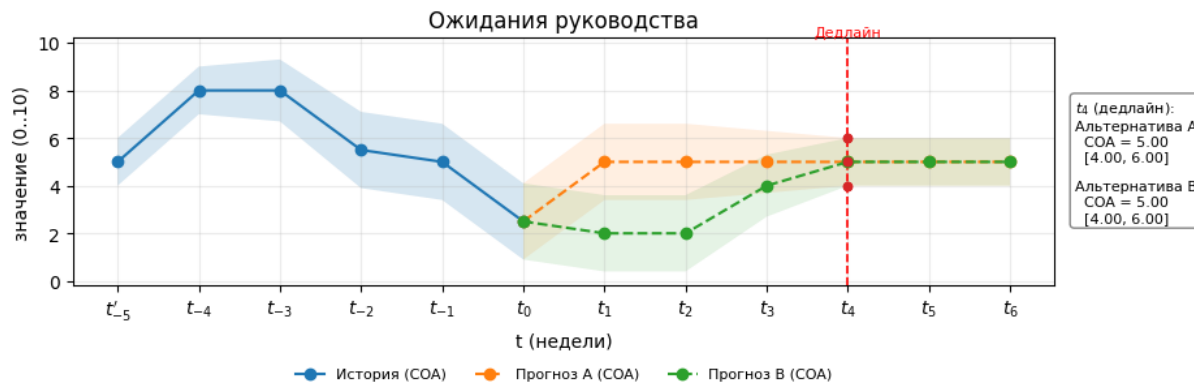
В данной стратегии руководство временно снижает ожидания до низкого уровня, позволяя разработчику восстановить рабочий ритм, при этом контроль не отменяется полностью, а переводится в умеренный режим. Дополнительный бонус устанавливается на среднем уровне и носит поддерживающий характер. Такое вмешательство приводит к более медленному, но устойчивому снижению напряжения и усталости. Количество ошибок уменьшается постепенно, а производительность сначала стабилизируется, после чего начинает расти, не вызывая повторного усиления негативных эффектов, связанных с перегрузкой.

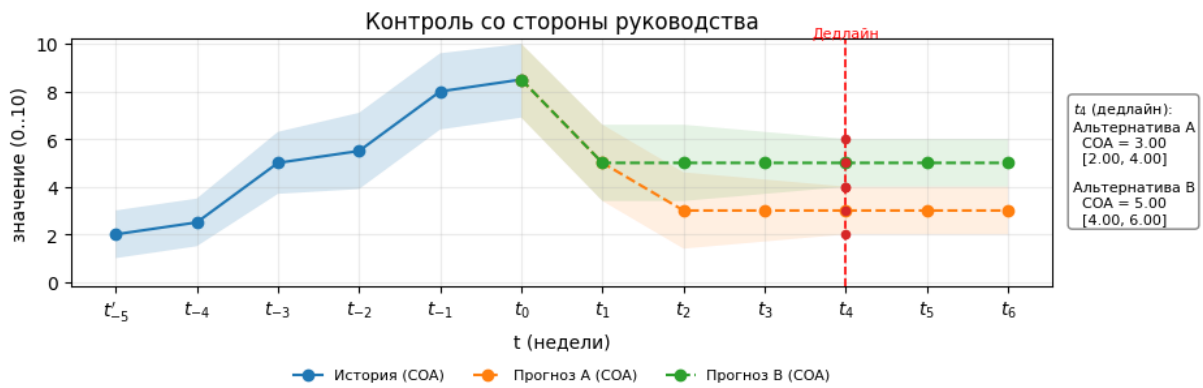
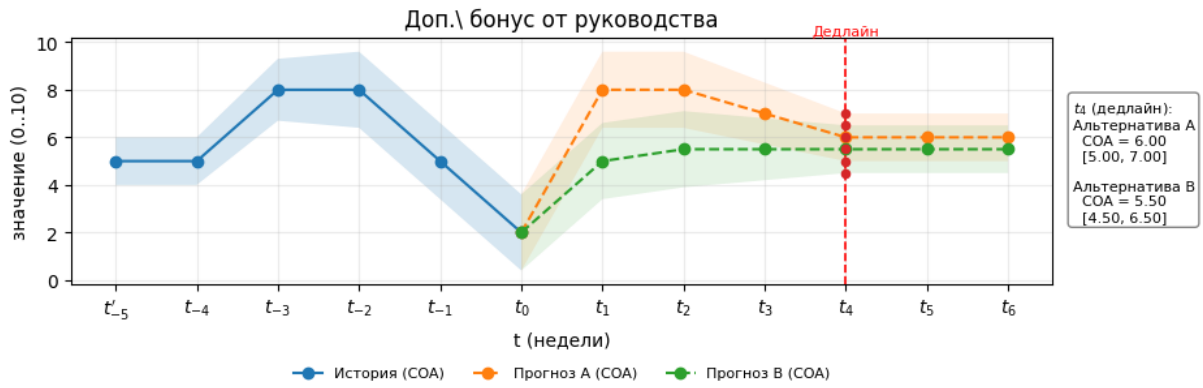
Абстрагируясь от воздействия внешних (не рассмотренных) факторов, смоделируем динамику изменения переменных для рассмотренных альтернатив улучшающего вмешательства. Будем изменять количественное значение переменных и смотреть, как от этого меняются термы.

Главная переменная:

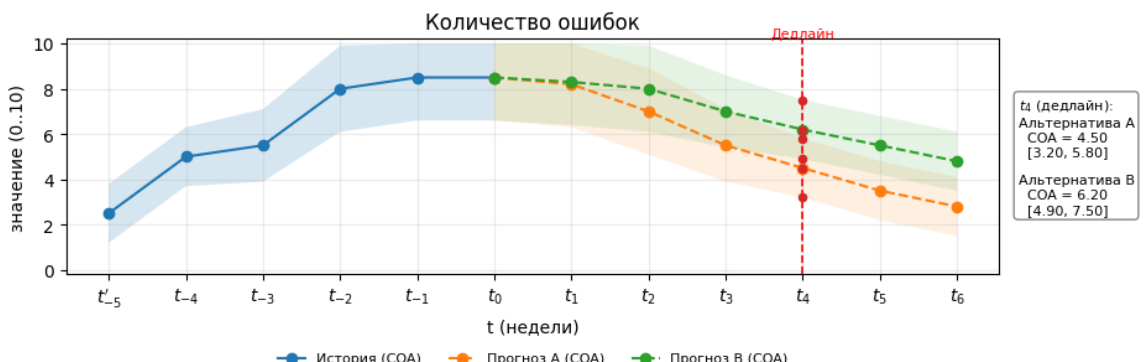
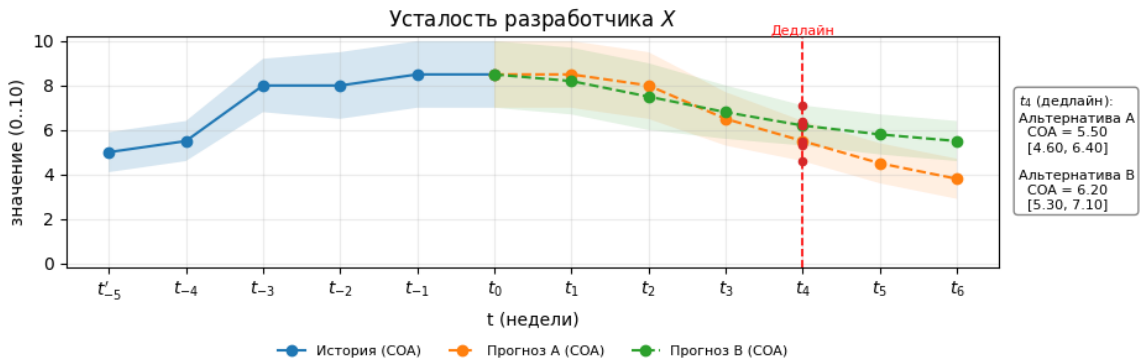


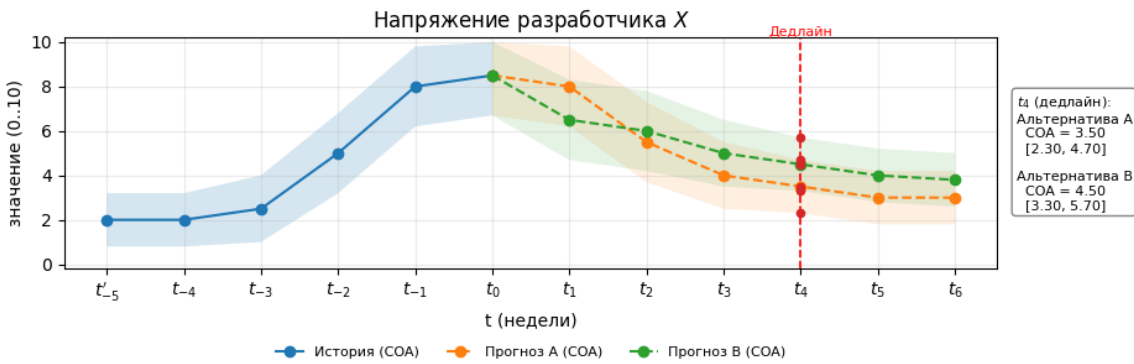
Контролируемые факторы (ожидание руководства, доп. бонус, контроль со стороны руководства):





Не контролируемые напрямую факторы (усталость, количество ошибок, напряжение разработчика):





Проведём анализ полученных результатов

1. **Главная переменная — производительность разработчика X.** К моменту дедлайна t_4 при реализации **альтернативы А** ожидаемая производительность (СОА) достигает высокого уровня и имеет сравнительно узкий интервал неопределённости, что указывает на высокую вероятность успешной стабилизации ситуации. В случае **альтернативы В** производительность к дедлайну повышается лишь до среднего уровня, а интервал неопределённости остаётся шире, что делает исход менее надёжным с точки зрения сроков сдачи проекта.
2. **Контролируемые управленические факторы (ожидания, бонус, контроль).** Динамика ожиданий руководства, дополнительного бонуса и уровня контроля демонстрирует их ключевую роль в немедленном влиянии на производительность разработчика. Исторически рост ожиданий и усиление контроля сопровождаются увеличением напряжения и усталости. В **альтернативе А** руководство снижает уровень контроля и стабилизирует ожидания, одновременно значительно повышая дополнительный бонус. Такое сочетание факторов позволяет быстро снизить давление на разработчика и создать условия для ускоренного восстановления производительности уже через две недели. В **альтернативе В** управленическое воздействие носит более мягкий характер: ожидания временно снижаются, контроль удерживается на умеренном уровне, а бонус используется как поддерживающий инструмент. Это обеспечивает большую устойчивость системы, однако приводит к более медленному улучшению ключевых показателей.
3. **Неконтролируемые напрямую факторы: усталость, ошибки и напряжение.** Для всех трёх переменных характерна инерционная динамика. Даже при управленическом вмешательстве их снижение происходит с задержкой. В альтернативе А эти показатели начинают снижаться раньше и быстрее, что приводит к заметному уменьшению количества ошибок уже к дедлайну. В альтернативе В снижение происходит более плавно, и к моменту дедлайна сохраняется повышенный уровень усталости и ошибок.

4. **Сравнительный вывод по альтернативам.** Альтернатива А ориентирована на быстрый эффект и разрыв негативных усиливающих циклов, связанных с выгоранием и чрезмерным контролем. Она демонстрирует более высокий уровень производительности и меньшую неопределенность в точке дедлайна t_4 , что делает её предпочтительной при жёстких сроках сдачи проекта. Альтернатива В использует меньшие ресурсы и обеспечивает более мягкую и устойчивую стабилизацию системы, однако её эффект проявляется медленнее и может оказаться недостаточным в условиях ограниченного времени.
5. **Итоговый вывод.** Анализ графиков Behaviour over time показывает, что при наличии жёсткого дедлайна и ключевой роли разработчика X более применимой является альтернатива А. Альтернатива В может рассматриваться как запасной вариант, уместный в ситуациях, когда руководство не готово предоставить разработчику необходимые для альтернативы А ресурсы.

Задание №3

В предыдущей задаче была рассмотрена динамика снижения производительности разработчика X с использованием причинно-следственной диаграммы и графиков Behaviour over time. На основе анализа системы были предложены две альтернативы управленческого вмешательства, направленные на стабилизацию и последующее повышение производительности разработчика в условиях приближающегося дедлайна проекта.

В данной задаче требуется рассмотреть проблему выбора наиболее предпочтительной альтернативы. Выбор должен осуществляться на основе многокритериальной (≥ 5) оценки, учитывающей как результат проекта, так и устойчивость системы в целом. Каждому из критериев необходимо присвоить вес, пропорциональный его значимости в финальной оценке. Как оценки критериев, так и веса необходимо представить в виде нечётких значений (интервалов). Для агрегирования критериев и получения итогового результата необходимо применить метод Рональда Яджера. Полученные результаты различных альтернатив следует проанализировать и сравнить между собой для выбора наиболее предпочтительного решения.

Решение

В качестве критериев оценки альтернатив могут быть использованы следующие факторы с учётом их важности для решения текущей имеющейся проблемы:

- **Качество продукта** — характеризует практическую ценность получаемого решения и степень соответствия результата требованиям заказчика. Данный критерий является одним из ключевых, так как напрямую влияет на успешность проекта. Вес критерия задаётся нечётким интервалом

$$p_1 \in [0.30; 0.40].$$

- **Затраченные дополнительные ресурсы** — описывает объём материальных, временных и управленческих ресурсов, необходимых со стороны руководства для внедрения альтернативы. Несмотря на важность данного критерия, в условиях жёсткого дедлайна он рассматривается как вторичный по отношению к результату. Вес критерия задаётся интервалом

$$p_2 \in [0.10; 0.20].$$

- **Надёжность выполнения в срок** — отражает вероятность завершения проекта в установленные временные рамки. В условиях приближающегося дедлайна данный критерий приобретает критическое значение. Вес критерия задаётся

интервалом

$$p_3 \in [0.25; 0.35].$$

- **Риски повторного снижения производительности** — характеризует вероятность возврата системы в неблагоприятное состояние после реализации управленческого вмешательства. Данный критерий важен с точки зрения устойчивости решения, однако его влияние проявляется в более долгосрочной перспективе. Вес критерия задаётся интервалом

$$p_4 \in [0.05; 0.15].$$

- **Адаптивность остальной команды к изменениям** — описывает способность команды быстро и эффективно подстроиться под изменения, необходимые для внедрения альтернативы, без снижения общей эффективности работы. Вес критерия задаётся интервалом

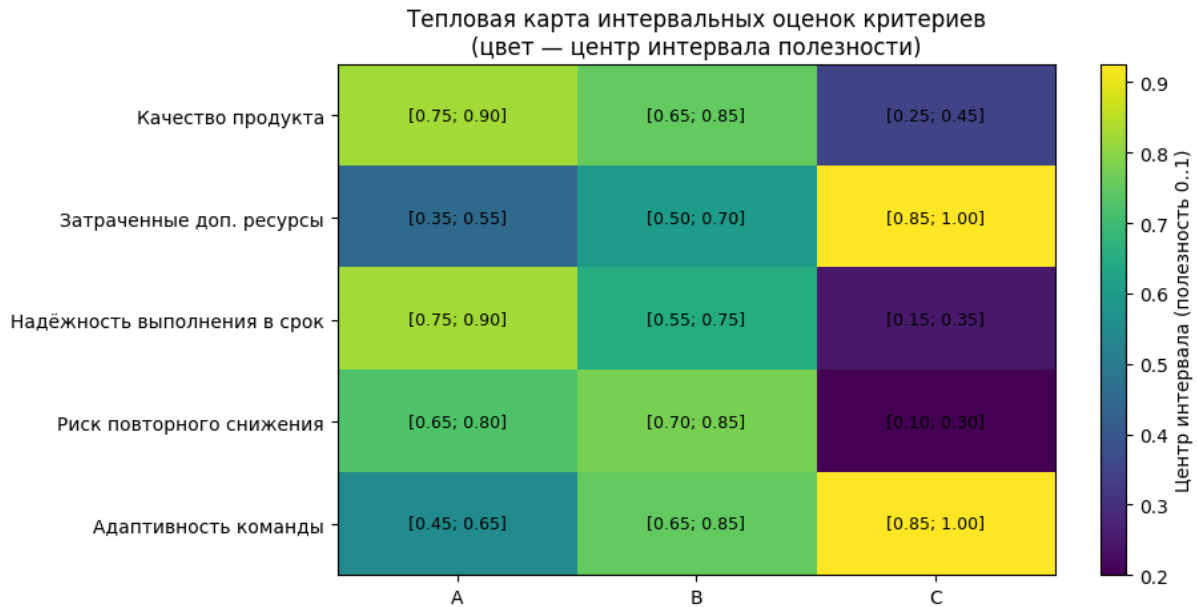
$$p_5 \in [0.15; 0.25].$$

Рассмотрим три альтернативы управленческого воздействия (альтернативы А и В соответствуют альтернативам, применённым к CLD):

- **Альтернатива А (активное вмешательство).** Данная альтернатива соответствует сценарию быстрого управленческого воздействия. Руководство снижает давление на разработчика X за счёт стабилизации ожиданий, ослабляет контроль до умеренного уровня и вводит дополнительную поддержку (в том числе материальную). Целью альтернативы является максимально быстрое разрыв негативного усиливающего цикла «усталость – ошибки – снижение производительности» и восстановление работоспособности разработчика к моменту дедлайна.
- **Альтернатива В (мягкая стабилизация).** В рамках данной альтернативы управленческое вмешательство носит более осторожный характер. Ожидания руководства временно снижаются, контроль сохраняется на умеренном уровне, а дополнительный бонус используется как поддерживающий, а не стимулирующий инструмент. Основной акцент делается на постепенное восстановление устойчивости системы и снижение рисков, однако ожидаемый эффект проявляется медленнее по сравнению с альтернативой А.
- **Альтернатива С (отсутствие вмешательства).** Данная альтернатива предполагает игнорирование наблюдаемого снижения производительности. Управленческие параметры не изменяются, и система продолжает развиваться по

текущей траектории. В этом случае ожидается сохранение высокой неопределённости, рост рисков срыва сроков и ухудшение качества конечного продукта.

Представим возможные оценки значений критериев для альтернатив в виде тепловой карты. Заметим, что затраченные дополнительные ресурсы и риск повторного снижения производительности выражают обратные зависимости.



Для выбора наиболее предпочтительной альтернативы используем метод Рональда Яджера. Данный подход при небольших модификациях позволяет учитывать неопределенность как в оценках критериев, так и в их весах, что особенно важно в условиях неполной информации.

Итак, пусть веса критериев заданы интервалами

$$p_k \in [\underline{p}_k, \bar{p}_k], \quad k = 1, \dots, 5,$$

а оценки альтернатив по критериям заданы в виде интервальных значений

$$C_k(a_i) \in [\underline{C}_{k,i}, \bar{C}_{k,i}], \quad a_i \in \{A, B, C\}.$$

В классическом методе Яджера используется следующая decision measure:

$$M(C_k(a_i), p_k) = \bar{p}_k \vee C_k(a_i),$$

где $\bar{p}_k = 1 - \underline{p}_k$, а операция \vee интерпретируется как максимум.

С учётом интервальной природы весов получаем:

$$\bar{p}_k \in [1 - \bar{p}_k, 1 - \underline{p}_k].$$

Тогда интервальная оценка decision measure для k -го критерия и альтернативы a_i вычисляется как

$$\underline{M}_k(a_i) = \max(1 - \underline{p}_k, \underline{C}_{k,i}), \quad \overline{M}_k(a_i) = \max(1 - \overline{p}_k, \overline{C}_{k,i}).$$

Итоговая оценка альтернативы определяется пересечением по всем критериям:

$$D(a_i) = \bigcap_{k=1}^5 M_k(a_i),$$

что в интервальном виде даёт

$$\underline{D}(a_i) = \min_k \underline{M}_k(a_i), \quad \overline{D}(a_i) = \min_k \overline{M}_k(a_i).$$

Для удобства сравнения альтернатив вычислим центры интервалов:

$$D_{\text{COA}}(a_i) = \frac{\underline{D}(a_i) + \overline{D}(a_i)}{2}.$$

Ниже представлены результаты вычислений

Альтернатива А.

$$D(A) \in [0.75; 0.85], \quad D_{\text{COA}}(A) = 0.80.$$

Альтернатива Б.

$$D(B) \in [0.65; 0.75], \quad D_{\text{COA}}(B) = 0.70.$$

Альтернатива С (отсутствие вмешательства).

$$D(C) \in [0.60; 0.70], \quad D_{\text{COA}}(C) = 0.65.$$

Полученные результаты позволяют упорядочить альтернативы по степени предпочтительности:

$$D(A) > D(B) > D(C).$$

Альтернатива А демонстрирует наибольшее значение итоговой оценки и наименьшую неопределённость, что делает её наиболее предпочтительной в условиях жёсткого дедлайна и высокой критичности результата. Альтернатива В обеспечивает более устойчивое, но менее быстрое улучшение ситуации и может рассматриваться как компромиссный вариант. Альтернатива С, несмотря на минимальные затраты ресурсов, характеризуется наименьшей итоговой полезностью и наибольшими рисками.

ками, вследствие чего является наименее предпочтительной.

Заключение.

Заметим, что полученные результаты не только подтверждают корректность выводов, сделанных в предыдущей задаче, но и хорошо согласуются с интуитивными ожиданиями. Действительно, активное вмешательство со стороны руководства (альтернатива А) приводит к наиболее быстрому восстановлению работоспособности разработчика X , что, в свою очередь, существенно повышает вероятность успешной сдачи проекта заказчику в установленные сроки.

Полное игнорирование ситуации (альтернатива С) обладает единственным преимуществом — отсутствием дополнительных управленческих и ресурсных затрат, однако сопровождается высокими рисками снижения качества продукта и срыва дедлайна, что делает данную альтернативу наименее предпочтительной.

Сбалансированная стабилизация (альтернатива В) может рассматриваться как компромисс между двумя описанными крайностями, поскольку она снижает давление на разработчика и ограничивает затраты ресурсов. Тем не менее, в условиях приближающегося дедлайна приоритетом является своевременная поставка качественного продукта, а по совокупности оцениваемых рисков данная альтернатива уступает активному вмешательству, что и обуславливает её второе место в итоговом ранжировании.